

UDC 533. 6.07.087.4

航空宇宙技術研究所資料

TM-51

超音速風胴空力データ表示記録装置

谷喬・高島一明
原宣利・近藤洋史

1965年5月

航空宇宙技術研究所

既刊資料

TM- 1	高マッハ数風洞について (I)	1961年11月	木本 一, 木橋 一, 清水 福寿
TM- 2	航空技術研究所計数型電子計算機設備 プログラムライブラリー (I)	1962年 2月	戸川 隼人, 高橋 利之, 高垣 芳保, 佐藤 雄子
TM- 4	18cm×20cm超音速風洞について	1962年 5月	木本口 好美, 木橋 甫, 木橋 三郎, 木橋 雄
TM- 5	遷音速流の線型理論	1962年 8月	良秀, 佐々木, 佐藤 伝雄
TM- 6	18cm×18cm遷音速風洞整備試験	1962年 8月	長細川 登, 井上 政一
TM- 7	慣性力形疲労試験	1962年 8月	鳥内 和之, 山根皓三郎
TM- 8	アルミ合金の前歴が疲れ寿命に およぼす実験的研究	1962年 9月	竹内 竜治, 坂元思無邪
TM- 9	方向性次元解析と相似解に関する覚書	1963年 2月	甲藤 好郎, 小出 勉
TM-10	DATATRON 205 用 ALGOL 58 使用法について	1963年 2月	高橋 利之
TM-11	光弾性による高速車盤の縞模様	1963年 2月	永井 文雄, 小川 鉱一
TM-12	コーティングの断熱効果に関する実験	1963年 3月	竹中 幸彦, 林 洋一
TM-13	遷音速における 45° 後退角翼の予備的 フラッタ実験	1963年 3月	中井 咲一, 小原 瑛
TM-14	変断面片持梁固有振動数の一計算方法 について	1963年 3月	中井 咲一, 小安藤 泰
TM-16	フラッタ試験設備測定部交換ノズルの 予備試験	1963年 4月	鳥海 良三, 中橋 本正, 瑠勝 宏
TM-17	VTOl 機用 Jet Lift Engine に関する 一考察	1963年 5月	木崎 俊朗, 松木 昭一
TM-18	ヘリコプター振動のパワースペクトル 解析	1963年 6月	鳥中 龍夫, 藤井 昭一
TM-19	吹出式超音速風洞による実験データの 処理方式について (I)	1963年 6月	小野 幸一
TM-20	1 m × 1 m 吹出式超音速風洞における AGARD 標準模型 B の三分力試験	1963年 7月	新井 忠, 原 亘利
TM-21	国産中型輸送機 YS-11 主翼疲労試験 (第 I 報)	1963年 9月	高木 廣治, 谷 喬
TM-24	円輪と薄肉円筒の回転強度の関係	1963年 11月	斎藤 秀夫, 新井 忠
TM-25	DATATRON 205 用 ALGOL 58 の Procedures ライブラリー	1964年 1月	竹内 和之, 飯田宗四郎
TM-26	吹出式風洞の圧力制御 (フラッタ試験 設備の場合)	1964年 1月	北谷 虔勇, 中井 治夫
TM-28	一段式観測ロケットの超音速風洞試験	1964年 1月	永井 文雄
TM-29	遷音速フラッタ試験設備の改造および 整備試験	1964年 1月	高橋 利之
TM-30	二段式ロケット飛しょう体の揚力およ び圧力中心推定法	1964年 1月	橋爪 宏, 中井 咲一
TM-31	亜音速ジェット輸送機の遷音速風洞に おける試験	1964年 1月	谷柳 喬, 原 盛三
TM-32	遷音速風洞の防音	1964年 2月	原立政, 竹内 和之, 桥爪 宏
TM-33	非定常境界層の遷移の研究に使用され た定温度型熱線風速計について	1964年 3月	安藤 泰勝, 高木 俊朗
TM-34	極超音速風洞ノズルの境界層補正につ いて	1964年 3月	小橋安次郎, 宮沢 隆文
TM-37	気体の不完全性を考慮した極超音速風 洞ノズルの設計計算法	1964年 3月	河崎 俊夫, 竹内 理
TM-38	AGARD-A 標準模型の超音速三分力 試験	1964年 4月	牛田 健二, 高橋 宏
TM-39	相似極超音速流におかれた半球面上の 境界層の遷移に及ぼす粗さと冷却の 結合影響	1964年 4月	榎並 敬之, 山本 稔義
TM-40	国産中型輸送機 YS-11 脳体疲労試験 (I)	1964年 5月	長洲秀夫
TM-41	抵抗線歪ゲージのゲージ率測定	1964年 5月	毛利 浩
TM-42	実在着氷条件の測定について	1964年 6月	高木 廣治, 斎藤 秀夫
TM-44	高負荷燃焼器 (アニュラ模型) の実験 結果	1964年 7月	石原 久藏, 石井 孝雄
TM-46	翼洞結合金具の疲労特性	1964年 9月	竹内 和之, 川島 矢郎
TM-47	ローター後流中のヘリコプター胴体の 抵抗について	1964年 10月	田畠 浩治, 大坪 孔治
TM-48	極超音速風洞用ペブル加熱器の予備実 験	1964年 10月	烟沢 實, 滝 古昌次, 田寺 木一
		1964年 12月	日出夫, 塚貞吉, 鈴木 邦男
		1964年 12月	松本 宏, 石井 浅五郎
		1965年 1月	広竹 内和之, 藤枝 郭俊一
		1965年 2月	大塚 誠, 山中國雍
		1965年 2月	幸尾 朗, 岡 遠
		1965年 2月	平木 一, 橋本 登崇
		1965年 2月	林 二識, 吉永 崇

超音速風胴空力データ表示記録装置について*

谷喬**・高島一明**
原亘利**・近藤洋史**

1. まえがき

本装置は、航技研吹出式超音速風胴に装備したものであって、トランジスタ式アナログ計算機とX-Y レコーダより構成され、既存の計測装置の出力である六分力とスティングのつけ根と気流との角度を電気量に変換したものを入力とし、所定の演算を行ない、データの最終結果たる迎角変化に対する垂直力係数、縦揺れ係数、軸力係数、抗力係数や抗力係数に対する垂直力係数等を X-Y レコーダに記録するようになっている。

本装置が計画された目的を述べると從来、吹出式超音速風胴で行なっているデータ処理方式においては最終結果を得るまでにアナログ量で磁気テープに記録、A-D変換、データトロン205による計算、必要なものを方眼紙に記録するなどの段階を経ねばならず、最終結果を得るのに数日以上を要し、その結果に不備があり再試験の必要が生じた場合、実験の進行に支障があつたわけである。そこで、本装置をもつて、実験結果を最終の表示形式で監視できれば、上述の問題も解消するわけである。そのためには、空力データ表示装置による表示結果が、データトロン 205 による計算結果とある程度の一致を示すことが保障されねばならない。

以下に、本装置の構成、演算内容を説明するとともに、本装置が所期の目的を達成しうるか否かを実験結果に従って考察していきたいと思う。

2. 装置の構成

本装置は、本体、増設装置、電源装置よりなるトランジスタ式アナログ計算機および結果を記録するための X-Y レコーダより構成されている。さらに、各部分は表1に示すごとき構成よりなっている。

次に、装置の主要部分について、その概略を述べる。

* 昭和40年4月21日受付

** 空気力学第二部

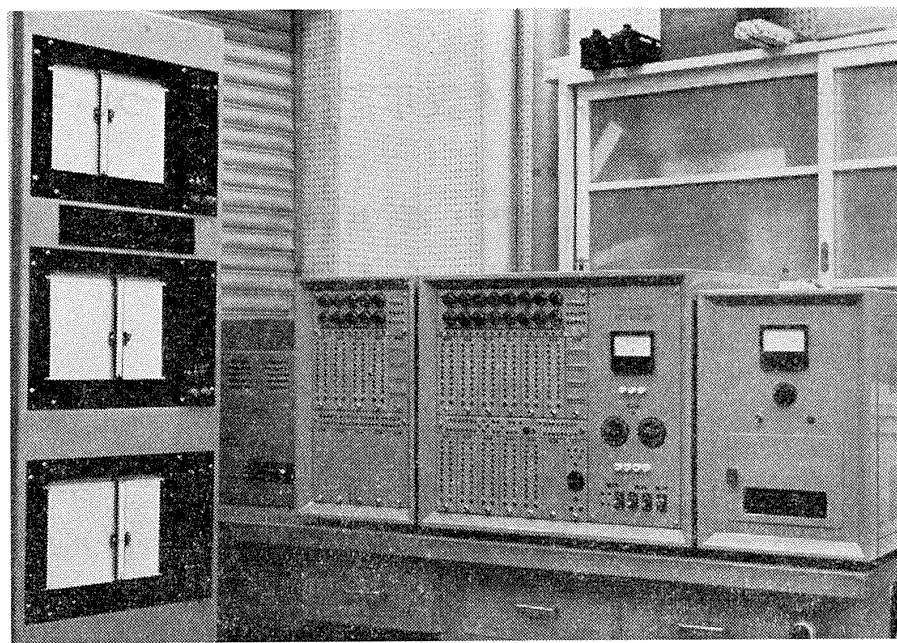


図1 装置外観

表1 装置の構成

分類	ユニット名称	数量
1. 装置本体	a. 加算係数器	21台
	b. 乗算器	1台
	c. 係数ボテンショメータ	16個
	d. 特殊非線形要素	1式
	e. 制御回路	1式
	f. 過負荷指示器	1式
	g. ブランクパネル	1式
2. 増設装置	a. 加算積分器	7台
	b. 係数ボテンショメータ	10個
	c. 過負荷指示器	1式
	d. ブランクパネル	1式
3. 電源装置		1台
4. X-Yレコーダ		3台

2.1 線形演算器

加算積分器および加算係数器をまとめて線形演算器として説明する。

いずれも高利得直流増幅器と負帰還回路が基本となっているわけであるが（付録参照），本装置での構成は図2に示すごとくである。

図2において，電圧 E が高い周波数の場合には下の交流増幅回路に無関係に，直流増幅回路にて増幅される。この場合，増幅度は直流増幅器によるものだけで，直流増幅器の増幅度を μ_1 とすれ

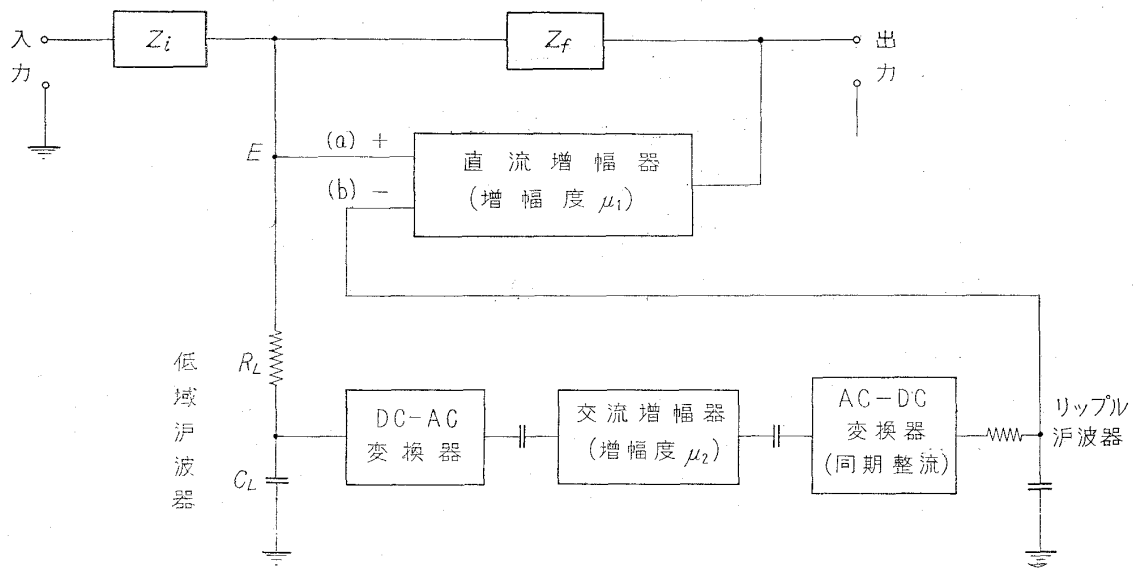


図 2 線形演算器

ば、 μ_1 となる。低い周波数の場合には、下の部分によるもの、すなわち、DC-AC 変換器（メカニカル・チョッパを用いている）により変調し交流増幅器で増幅、さらに同期整流したのち直流増幅器で増幅したものと、直接直流増幅回路で増幅したものとの和になる。したがって、低い周波数の場合の増幅度は、交流増幅回路の部分の増幅度を μ_2 とすれば、 $\mu_1(1+\mu_2)$ となる。

また、交流増幅器は本質的にドリフトのないものと考えられるから、 $\mu_1(1+\mu_2)$ の増幅度を直流増幅回路だけで得る場合よりも上述のような回路構成にしたほうがドリフトに対して有利となる。

次に線形演算器の性能について記す。

(1) 演算増幅器性能

- | | |
|---------------|--|
| (a) 直流増幅器利得 | 80 dB 以上 (50 c/s) |
| (b) チョッパ増幅器利得 | 50 dB 以上 (0.1 c/s) |
| (c) 総合利得 | 130 dB 以上 (直流) |
| (d) 出力電圧 | $\pm 10 \text{ V}$ (負荷 $2.5 \text{ k}\Omega$) |
| (e) チョッパ周波数 | 400 c/s |

(2) 加算積分器性能

(a) 演算抵抗

個 数	6 個 (精密金属被膜抵抗)
抵抗値の種類	$100 \text{ k}\Omega, 200 \text{ k}\Omega, 1 \text{ M}\Omega$ (4 個)
抵抗値の精度	$\pm 0.1\%$ 以下 (指定温度 20°C)
温度係数	$\pm 5 \times 10^{-5}/^\circ\text{C}$ 以下

(b) 演算蓄電器	
容 量	$1 \mu\text{F}$ (ポリエチレン密封形)
容量値偏差	$\pm 0.2\%$ 以下 (指定温度 20°C)
温 度 係 数	$\pm 4 \times 10^{-4}/^\circ\text{C}$ 以下
絶 縁 抵 抗	$1 \times 10^5 \text{ M}\Omega$
(c) 入 力 倍 率	1, 1, 1, 1, 5, 10
(d) 出 力 端 子	3 個 (直列)
(3) 加算係数器性能	
(a) 入 力 抵 抗	
個 数	6 個 (精密金属被膜抵抗)
抵抗値の種類	$50 \text{ k}\Omega$, $100 \text{ k}\Omega$, $500 \text{ k}\Omega$ (4 個)
抵抗値の精度	$\pm 0.1\%$ 以下 (指定温度 20°C)
温 度 係 数	$\pm 5 \times 10^{-5}/^\circ\text{C}$ 以下
(b) 帰 還 抵 抗	$500 \text{ k}\Omega$
(c) 周波数特性	1 kc までフラット (倍率 1)
(d) 直線性偏差	$\pm 0.1\%$ 以下 (倍率 1)
(e) ド リ フ ト	$200 \mu\text{V}/\text{h}$ 以下 (入力換算)
(f) 入 力 倍 率	1, 1, 1, 1, 5, 10

2.2 乘 算 器

本器の乗算方式は電子管式乗算器で用いられている時分割方式の原理をトランジスタに適した回路に修正したものであり、図 3 にその原理回路図を示す。

乗算器のおもな性能は次のとおりである。

(a) 方 式	時分割方式
(b) 入 力	X および Y
(c) 入 力 電 壓	$\pm 10 \text{ V}$ 以下
(d) 出 力	$-XY/10$
(e) 出 力 電 壓	$\pm 10 \text{ V}$ (負荷 $2.5 \text{ k}\Omega$) 以下
(f) 静 特 性	誤差 0.5% 以内
(g) 雜 音	50 mV (peak to peak)

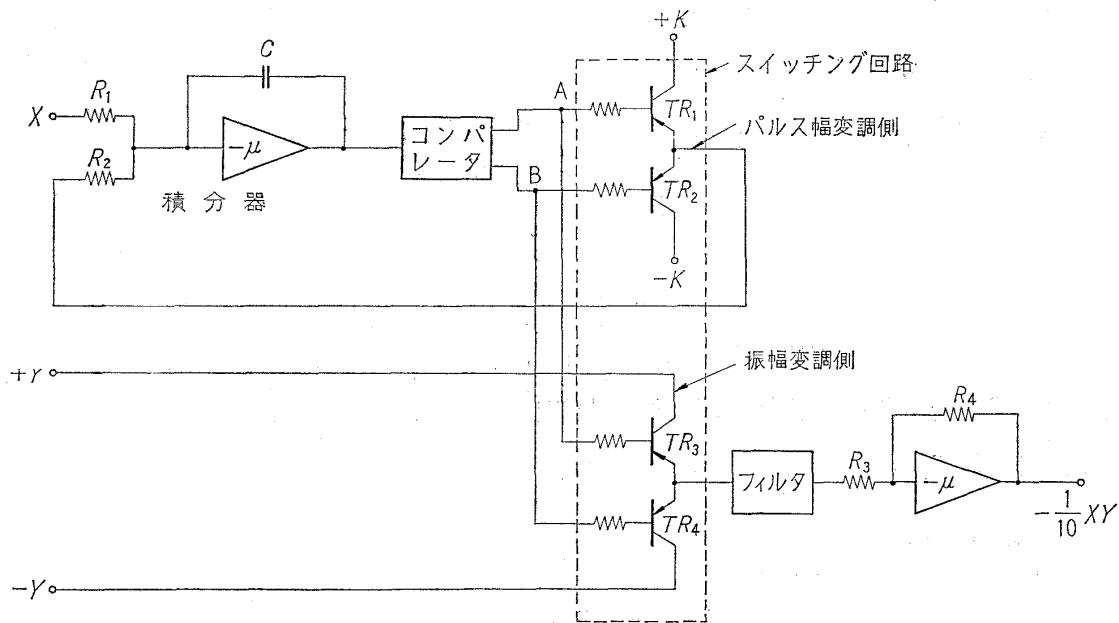


図3 乗 算 器

2.3 係数ポテンショメータ

係数を設定するために用いるもので、多回転精密捲線可変抵抗器が用いられている。

性能は次のとおりである。

- | | |
|-------------|--------------------------------|
| (a) 全抵抗値 | 10 k Ω |
| (b) 直線性偏差 | $\pm 0.15\%$ 以内 |
| (c) 全抵抗値許容差 | $\pm 5\%$ 以内 |
| (d) 回転角度 | $360^\circ \times 10$ |
| (e) 読み取り | 1/1000 |
| (f) 残留抵抗 | 0.5 Ω 以内 |
| (g) バックラッシュ | 0.05% 以内 |
| (h) 電力容量 | 2.5 W |
| (i) 絶縁抵抗 | DC 1000 V にて 100 M Ω 以上 |

2.4 制御回路

制御回路は次に示す機能をもつ。

(1) 演算制御

- | | |
|-------------|---------------|
| (a) CHECK | 演算器出力零調整 |
| (b) RESET | 演算準備（積分器初期値入） |
| (c) COMPUTE | 演算開始 |

- (d) HOLD 演算休止保持
- (2) 演算器出力監視
- (3) X-Y レコーダのペンの上げ下げ
- (4) 過負荷警報装置

2.5 過負荷指示器

各演算器の出力電圧が $\pm 10V$ 以上になったとき、その演算器に対応した位置にある蛍光指示管が点灯し演算器の過負荷を表示する。同時に制御回路部では、リレー動作により演算は自動的に中止され、過負荷警報用のブザーが鳴る。

2.6 電源装置の規格および性能

- (1) 入 力 商用交流電源 48~62 c/s, 85~115 V

- (2) 出 力

定格電圧 (V)	入力変動に 対する安定度	負荷変動に 対する安定度	リップル (P-P)	ドリフト (/h)
a) +16	$\pm 0.05\%$ 以下	$\pm 0.05\%$ 以下	1 mV 以下	$\pm 0.05\%$ 以下
b) -16	"	"	"	"
c) +10	$\pm 0.005\%$ 以下	"	"	"
d) -10	"	"	"	"
e) DC50	15%以下	15%以下	3% 以下	
f) -6	$\pm 0.05\%$ 以下	$\pm 0.5\%$ 以下	1 mV 以下	$\pm 0.05\%$ 以下
g) +10 (UR)	15%以下	15%以下	3% 以下	
h) 1V (AC)	"	"	"	

- (3) チョッパ電源

(a) 周波数	400 c/s	$\pm 1\%$
(b) 出力電圧	6.3V	$\pm 1\%$
(c) 出力電流	0.6A	

- (d) この出力はチョッパ駆動用と同期整流用として用いるため同期整流用はチョッパ駆動用に對し約 45° の位相遅れをもつ。

- (4) 繰返し演算用制御信号器

(a) 繰返し時間	200 ms	100 ms
(b) 演算時間	100 ms	50 ms
(c) 停止時間	100 ms	50 ms

2.7 X-Y レコーダ

X-Y レコーダの性能を次に示す。

(1) 追従速度

Xフルスケール	1 s
Yフルスケール	0.6 s

(2) 動的追従速度

フルスケール	0.3 c/s
--------	---------

(3) 測定レンジおよび入力抵抗

レンジ	入力抵抗	レンジ	入力抵抗
0.5 mV/cm	15 kΩ	0.5 mV/cm	0.5 MΩ
1 "	1 "	1 "	0.5 "
5 "	5 "	5 "	2.5 "
10 "	10 "	10 "	5 "
50 "	50 "	20 "	5 "
100 "	100 "		

(4) 確度

X, Y とも $\pm 0.4\%$

3. 演算内容

3.1 入力

本装置で演算すべき入力量は、T A S K 社製のステイキング・バランスにて電気量に変換し、既存の吹出式超音速風洞計測装置により250倍に増幅した六分力 Z_1, Z_2, X, Y_1, Y_2, L とステイキングつけ根と気流との角度 α をポテンショメータにて電気量に変換したものと合わせて7入力である。

図5に、これら7入力の一例を示す。

図において、 N_1, N_2 はあるのは法線方向力の第1成分と第2成分であり本資料中で Z_1, Z_2 に相当するものである。 R はあるのはローリング・モーメントで本資料では L と表記してある。 X は軸力であり、 Y_1, Y_2 はそれぞれ横方向力の第1、第2成分である。

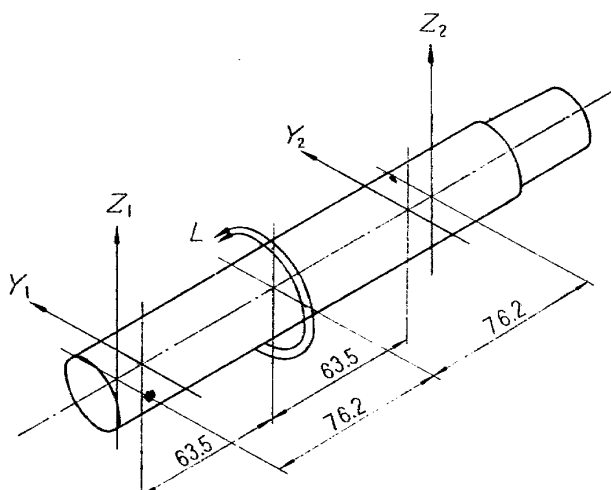


図4 ステイキング・バランス

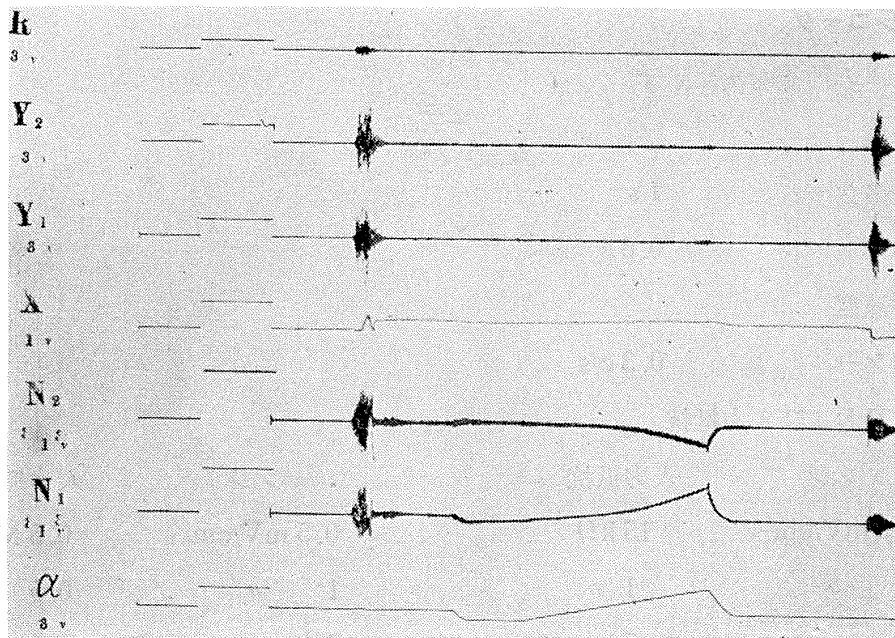


図 5 入 力

3.2 演 算 式

本装置を用いて行なう演算内容は表2に示すとおりである。

この装置に用いた方式においても、原理的には天秤受感子相互間の干渉、ステイキングのたわみ補正、模型重量の影響の補正等すべて可能であるが、現状では装置が限られているので、そのうち、最も重要と思われるもののみについて補正を行なっている。

すなわち、

- (1) 迎角計算において、模型に働く空気力によるステイキングのたわみの補正。
- (2) 垂直力および横方向力の軸力への干渉。

をいずれも一次近似の形において補正している。

また、垂直力および横方向力要素相互間の一次の補正是みかけ上受感子位置が動いたと考えて行なうるのでこの計算に含ませることができる。

なお、軸力に対する模型重量の影響の補正および軸変換において、迎角 α_T は小なるものとして $\sin \alpha_T$ を α_T で、 $\cos \alpha_T$ を 1 で近似している。

表 2 演 算 内 容

演 算 名	計 算 内 容	演 算
1 迎 角 計 算	$\alpha_T = \frac{\alpha}{\bar{\alpha}} + \left(z_1 \frac{Z_1}{\bar{Z}_1} + z_2 \frac{Z_2}{\bar{Z}_2} + y_1 \frac{Y_1}{\bar{Y}_1} + y_2 \frac{Y_2}{\bar{Y}_2} \right)$	加 算
2 垂 直 力 係 数	$C_Z = \frac{1}{qS} \left(\frac{Z_1}{\bar{Z}_1} + \frac{Z_2}{\bar{Z}_2} \right)$ or $Z = ()$	加 算

3	軸 力 係 数	$C_X = \frac{1}{qS} \left \bar{X} + \left(c \frac{Z_1}{\bar{Z}_1} + d \frac{Z_2}{\bar{Z}_2} + f \frac{Y_1}{\bar{Y}_1} + g \frac{Y_2}{\bar{Y}_2} \right) - W \cdot \frac{\alpha}{\bar{\alpha}} \right $ or $X = ()$	加減算
4	横 力 係 数	$C_Y = \frac{1}{qS} \left(\frac{Y_1}{\bar{Y}_1} + \frac{Y_2}{\bar{Y}_2} \right)$ or $Y = ()$	加 算
5	縦 摆 係 数	$C_m = \frac{1}{qS} \left(l_1 \frac{Z_1}{\bar{Z}_1} + l_2 \frac{Z_2}{\bar{Z}_2} \right)$ or $M = ()$	加 算
6	偏 摆 係 数	$C_n = \frac{1}{qS} \left(s_1 \frac{Y_1}{\bar{Y}_1} + s_2 \frac{Y_2}{\bar{Y}_2} \right)$ or $N_B = ()$	加 算
7	抗 力 係 数	$C_D = C_Z \cdot \alpha_{T^*} + C_X$ or $D = Z \cdot \alpha_{T^*} + X$	加 乘 算
8	non rolling 軸 係 数	$\bar{Z} = Z \cos \phi - Y \sin \phi$	減 算
9	non rolling 軸 moment 係 数	$\bar{M} = M \cos \phi - N_B \sin \phi$	減 算
10	横 摆 係 数	$C_t = \frac{1}{qS} \cdot \frac{L}{\bar{L}} \cdot \frac{1}{r}$ or $L_B = \frac{L}{\bar{L}} \cdot \frac{1}{r}$	—

次に表2の記号を説明する。

α : ステイキングつけ根と気流との角度を電気量に変換したもの (V)

Z_1 : 法線方向力第一成分の入力 (V)

Z_2 : 法線方向力第二成分の入力 (V)

X : 軸方向力の入力 (V)

Y_1 : 横方向力第一成分の入力 (V)

Y_2 : 横方向力第二成分の入力 (V)

L : ローリングモーメントの入力 (V)

z_1, z_2, y_1, y_2 : ステイキングのたわみ補正係数 (deg/kg)

c, d, f, g : 天秤の相互干渉を補正する係数 (無次元)

q : 測定部動圧 (kg/cm²)

S : 基準面積 (cm²)

l_1, l_2 : モーメント腕比 (縦揆係数) (無次元)

s_1, s_2 : モーメント腕比 (偏揆係数) (無次元)

W : 模型重量 (kg)

$\bar{\alpha}$: α に対するスケールファクタ (V/deg)

$\bar{Z}_1, \bar{Z}_2, \bar{X}, \bar{Y}_1, \bar{Y}_2$: Z_1, Z_2, X, Y_1, Y_2 のそれぞれに対応するもののスケールファクタ (V/kg)

\bar{L} : L に対するスケールファクタ (V/kg·m)

ϕ : バンク角 (deg)

r : ローリングモーメント基準長さ (m)

α_{T^*} : 迎角 (α_T) をラジアン単位で表わしたもの

3.3 結線図

前節に示した演算を実際に実行するためには、図6に示すごとく結線すればよい。

図6の記号を説明すると、

LPF：低域沪波器で、これは積分器を図7に示すごとく結線した時定数1秒の一次おくれ回路として構成する。

P : 係数ポテンショメータ

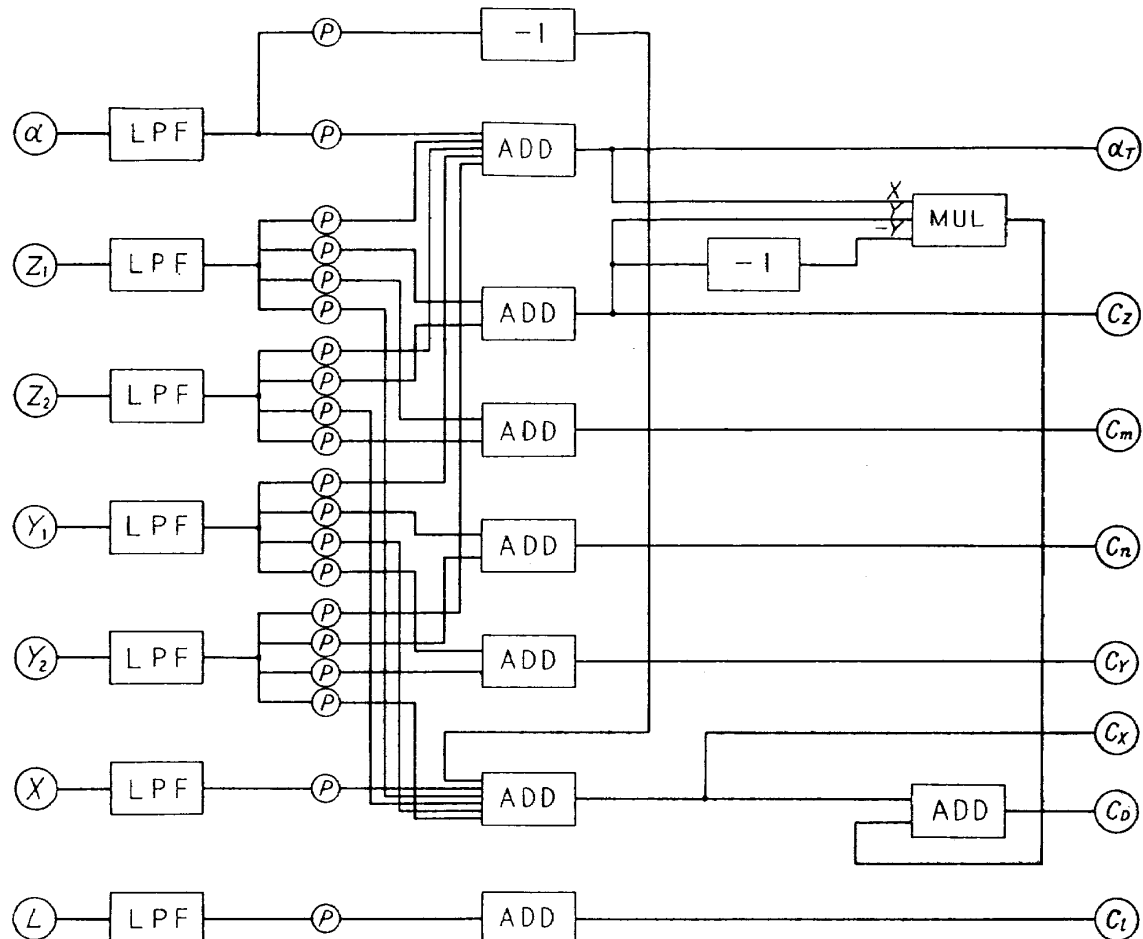


図6 結線図

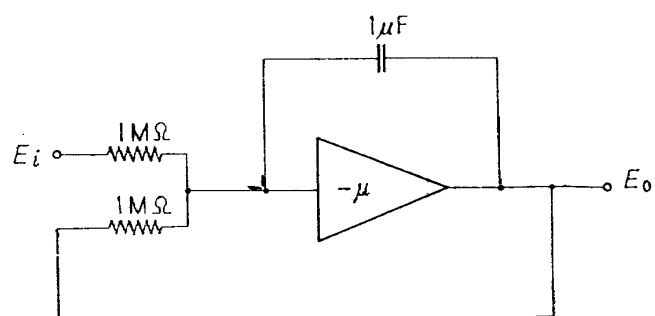


図7 一次遅れ回路

ADD : 加算係数器

MUL : 乗 算 器

-1 : 符号変換器

X-Y : X-Y レコーダ

次に係数ポテンショメータに設定する係数について、垂直力係数を例にとって説明する。

$$C_z = (1/qS)(Z_1/\bar{Z}_1 + Z_2/\bar{Z}_2)$$

において、 $(1/qS)(1/\bar{Z}_1)$, $(1/qS)(1/\bar{Z}_2)$ をあらかじめ実験前に算出しておいて、それぞれ対応するポテンショメーターに設定する。ここに、 q は風洞測定部の動圧であるから、実験後に判明する量である。したがって、 q は過去の実験結果から、各マッハ数および設定圧力に対してあらかじめ推定した値を用いねばならない。 S は基準面積であるから、模型により定まっている。 \bar{Z}_1, \bar{Z}_2 はスティング・バランスの電気的出力を物理量に変換するためのものである。そして、 $(1/qS)(1/\bar{Z}_1)$, $(1/qS)(1/\bar{Z}_2)$ 等、ポテンショメータに設定する値は、1より小さくなければならない。もし、1より大となる場合には、1/2, 1/5 等にして、X-Y レコーダでのスケーリングで調節するか、あるいは、加算係数器の1以外の係数を用いるかすればよい。

3.4 データ表示形式

原理的には、図6に示す出力の任意の二つを組み合わせて、X-Y レコーダに記録させることができる。

これらのうち、通常用いる組合せは、迎角変化 (α_r) に対する C_z, C_m, C_D, C_x 等である。また、 $C_z - C_D, C_z - C_m$ 等の組み合わせが要求されることもあり、実験の目的に依り適宜に選択される。また、パラメータを変えた数回の試験を同一のグラフに表示することも有効に行ないうる。

4. 実験結果

以下に本装置を用いて得られた結果と、吹出式超音速風洞でとっている従来のデータ処理方式によって得られた結果とを比較する。

本装置の目的は、これをもって従来のデータ処理方式に換えるというのではなく、あくまで、実験の進行を円滑にするための監視的意味を持つものである。したがって本装置をもつて出すべき結果を、従来のデータ処理方式によって出された結果へどの程度近づけうるかが問題となるわけである。また、ある程度の誤差で所期のデータが得られることが確認できれば、緊急に最終結果が必要になった場合、これをもって、最終結果の代用とすることも可能になるわけである。しかし、現状においては、本装置が性能上限られているため、次に示してあるような点においてまだ十分であるとはいえない。

- (1) 実験前に未知量の q (動圧) を推定せねばならない点。
- (2) スティング・バランスの出力相互間の干渉補正が十分でない問題。
- (3) スティング、バランスの出力が極性を変えたとき、補正量が変ることのある場合。
- (4) 安定軸への変換において、 α_T が大きくなるにつれ近似が悪くなる点。
- (5) 直流増幅器のドリフトおよびノイズ。
- (6) ポテンショメータに係数を設定する場合、次に接続する演算器の入力インピーダンスの影響で、ポテンショメータに目もられた値より実際には低目の値となる点。
- (7) 低域渦波器として時定数 1 秒の一次おくれ系を用いているためいくぶん追従性がわるい点。

上述のごとき問題点が実際に表示した場合どの程度の影響をもつか、以下に記録結果を示しながら簡単に述べる。

図 8 から図 13 までは全長 1,111.7 mm 直径 55 mm のロケット模型について試験したもののが表示結果である。

図 8 から図 10 までは、実験 Run No. 1446 について、 $C_{z-\alpha_T}$, $C_{m-\alpha_T}$, $C_{x-\alpha_T}$ を表示した結果である。このときの動圧 q の推定値は 0.82, 実際の値は 0.794 であった。図において、×印で表示されているほうが、データトロン 205 により計算した結果である。この表示結果をみると、動圧 q がより正確に推定されれば、より近い表示結果が得られたと想像される。

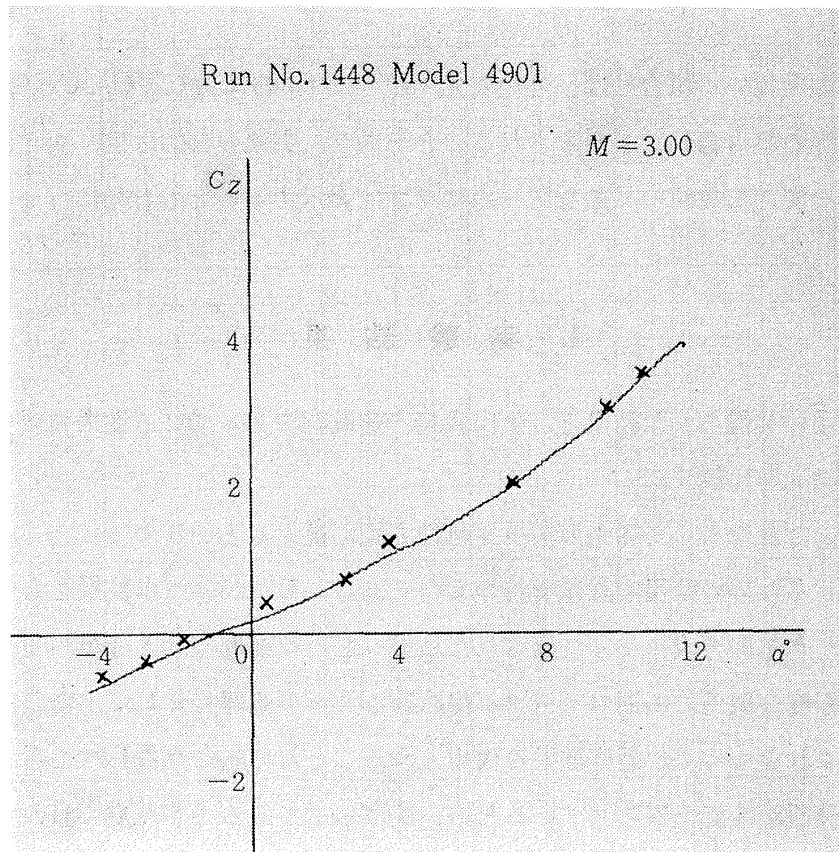


図 8

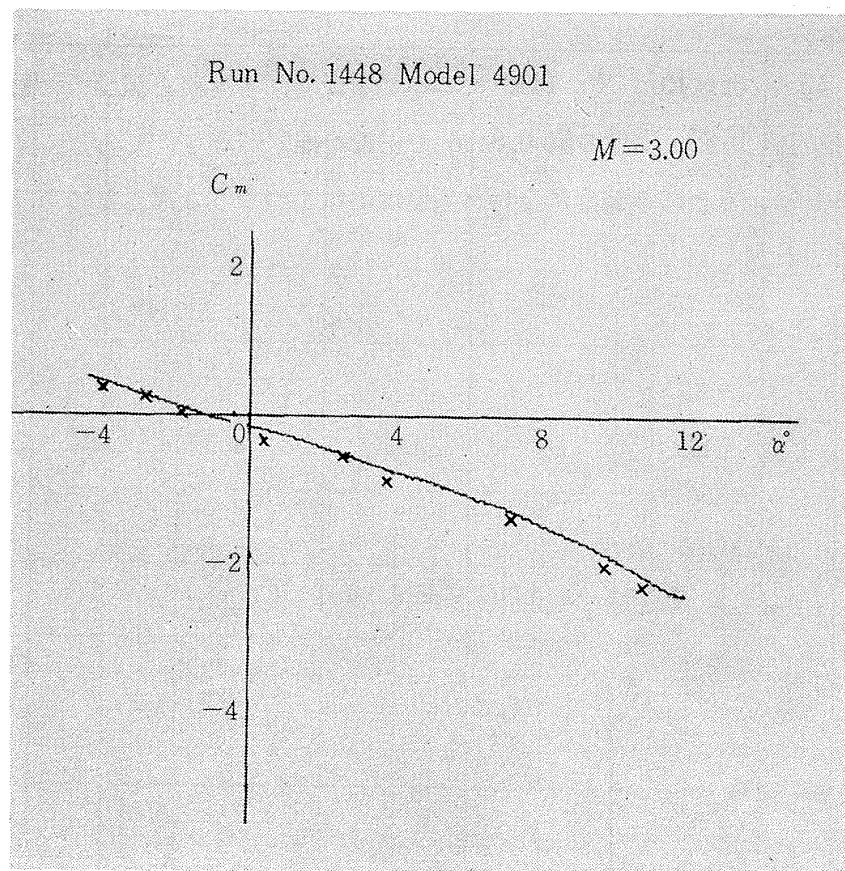


図 9

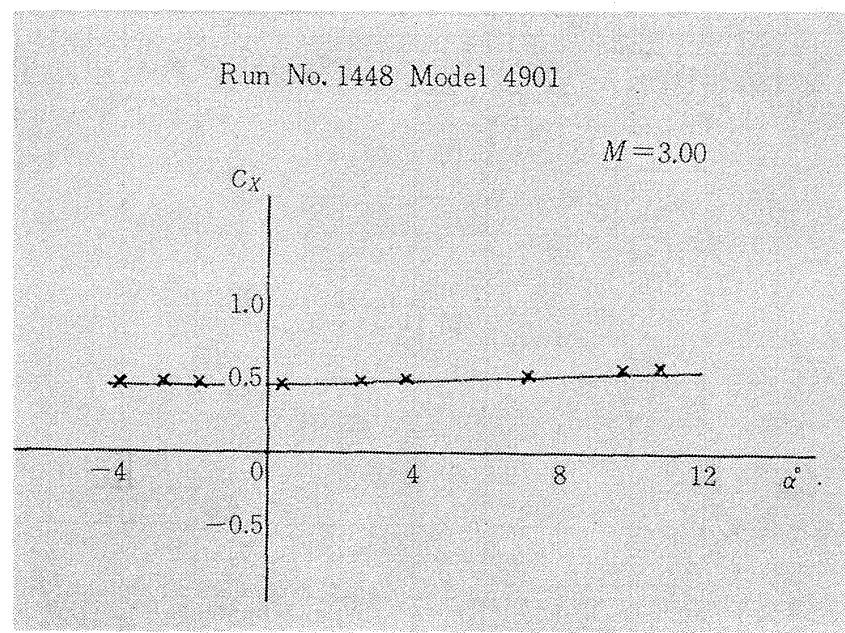


図 10

図 11 から図 13 までは Run No. 1448 について上記と同じものを表示した結果である。この Run では、 q の推定値 0.85、実際の値 0.8496 で正確な推定がなされている。結果の不一致が多少みられるが、これは、さきに本装置にみられる原理的に不つごうな点としてあげたうちの(6)と(7)に起因するものと思われる。

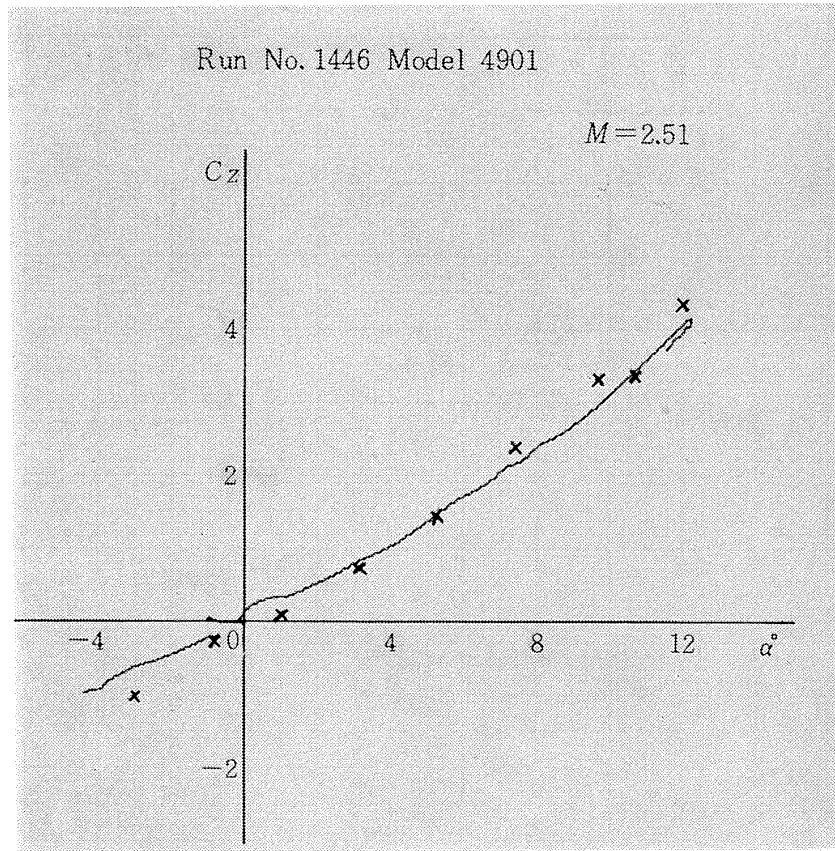


図 11

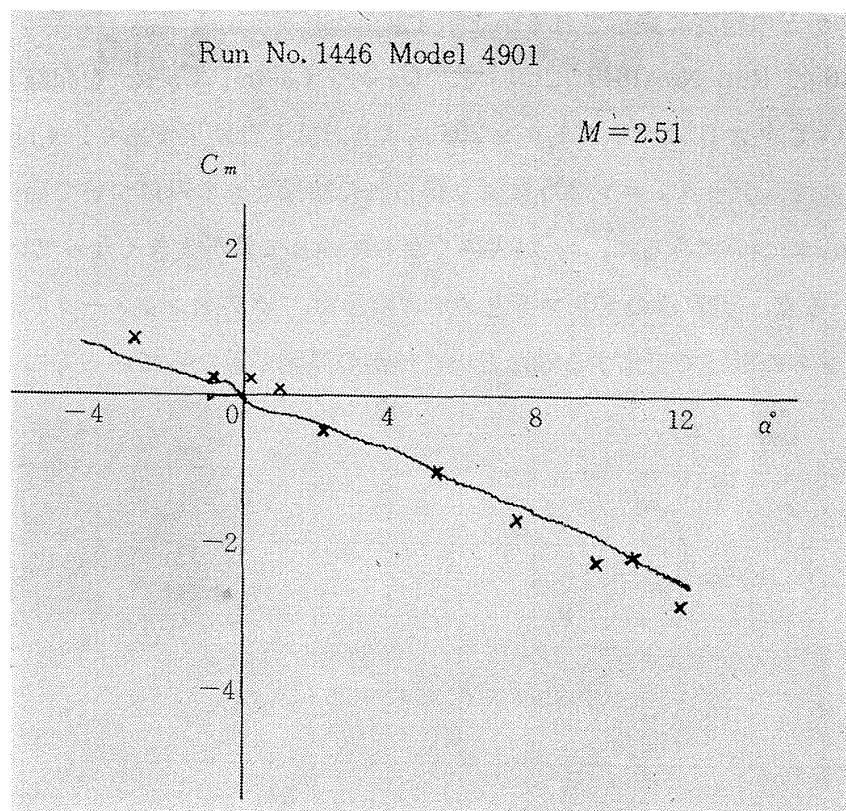


図 12

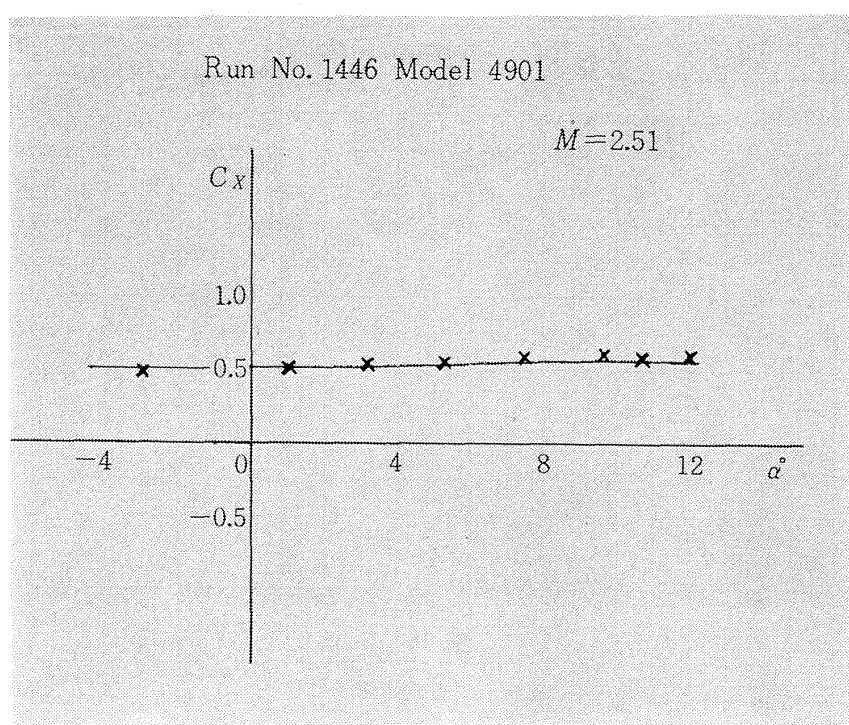


図 13

次に、 $C_{D-\alpha_T}$ がどの程度に表示されるかを示す。

図14から図16に Run No. 1649 について、 $C_{Z-\alpha_T}$ 、 $C_{X-\alpha_T}$ 、 $C_{D-\alpha_T}$ を記録したものを表示している。図において、×印はデータトロン 205 により計算した結果であり、○印は動圧 q の推定が良くなかったので、データトロン 205 により得られた結果を q のみについて補正して表示したものである。 $C_{D-\alpha_T}$ についてみると、 α_T が大きくなるにつれて差が大きくなっているが、 $\sin \alpha_T$ を α_T で近似している点、乗算器のドリフトとノイズの影響、ポテンショメータの設定値が演算器の入力インピーダンスの影響で変化する等などいくつかの原因が重なっているものと推定される。

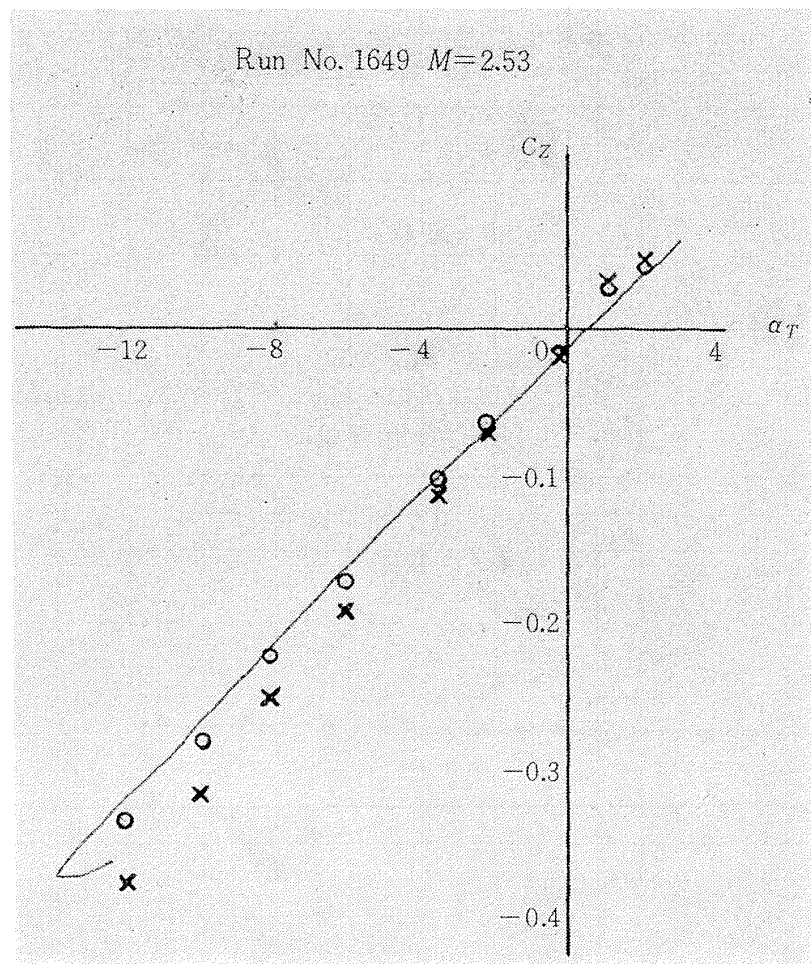


図 14

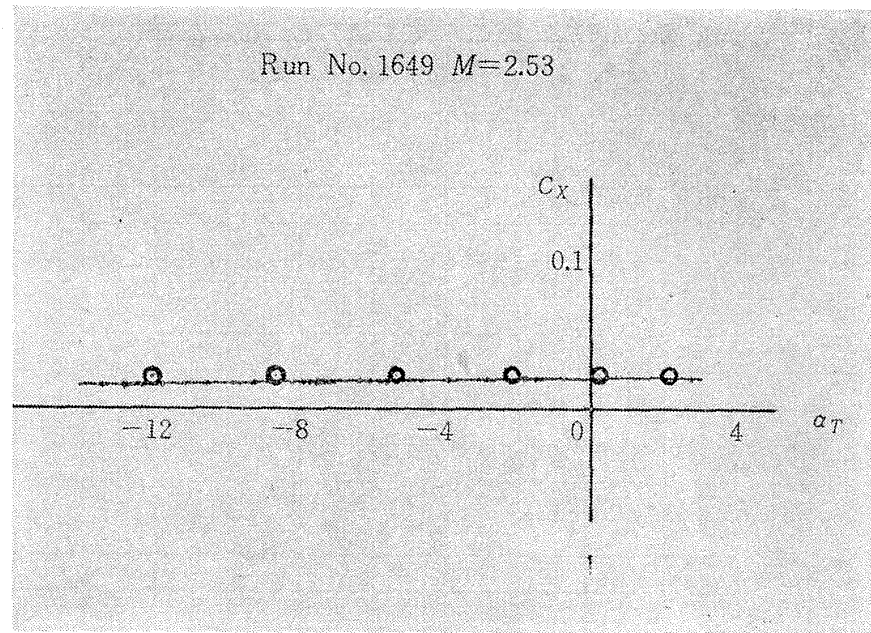


図 15

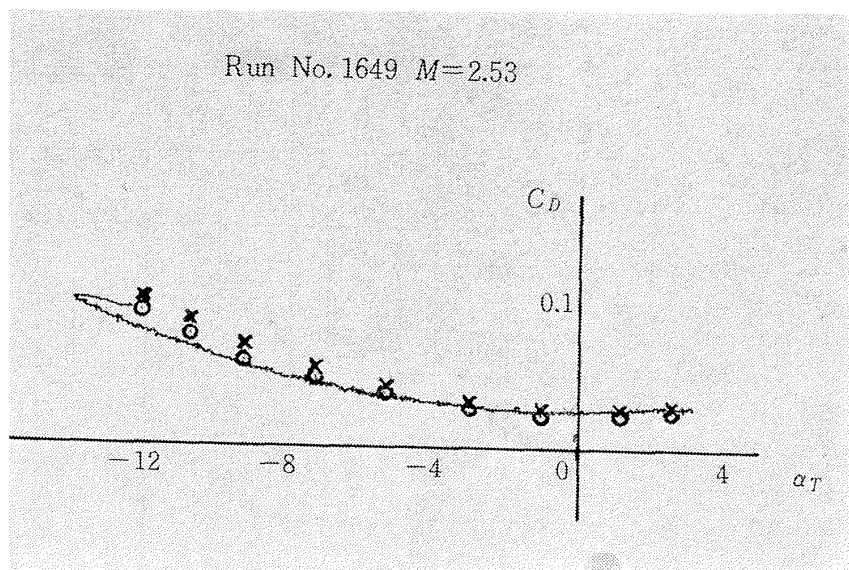


図 16

次に、参考として Run No. 1807 について $C_D-\alpha_T$, C_Z-C_D を表示したものと示す。(図17および図18)

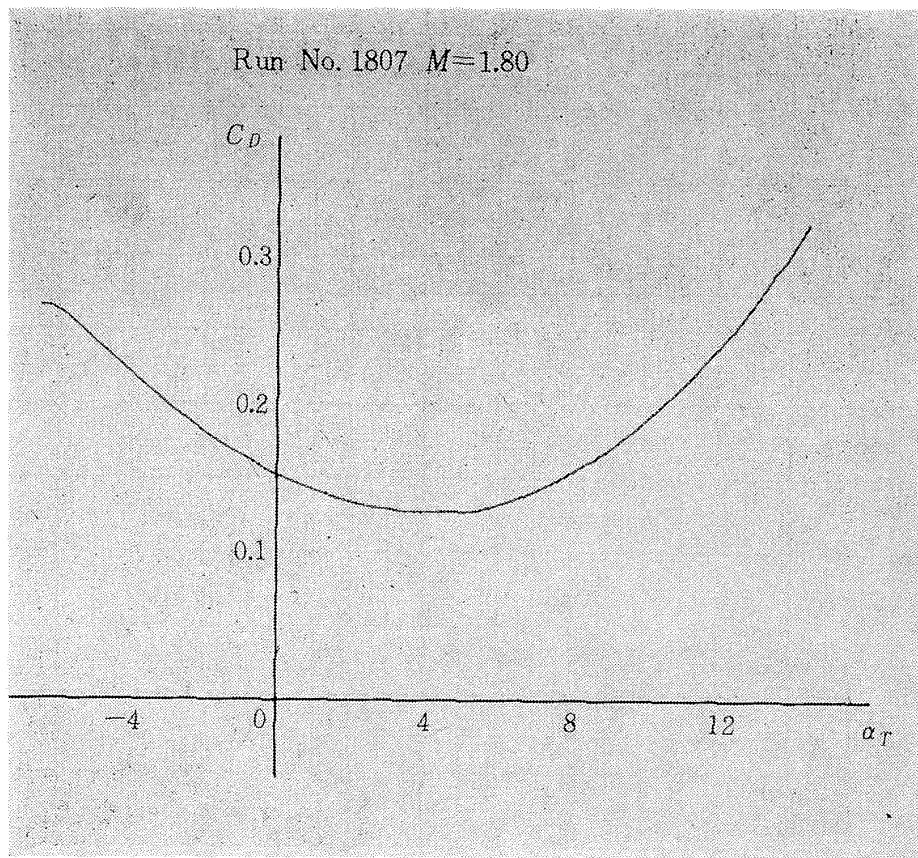


図 17

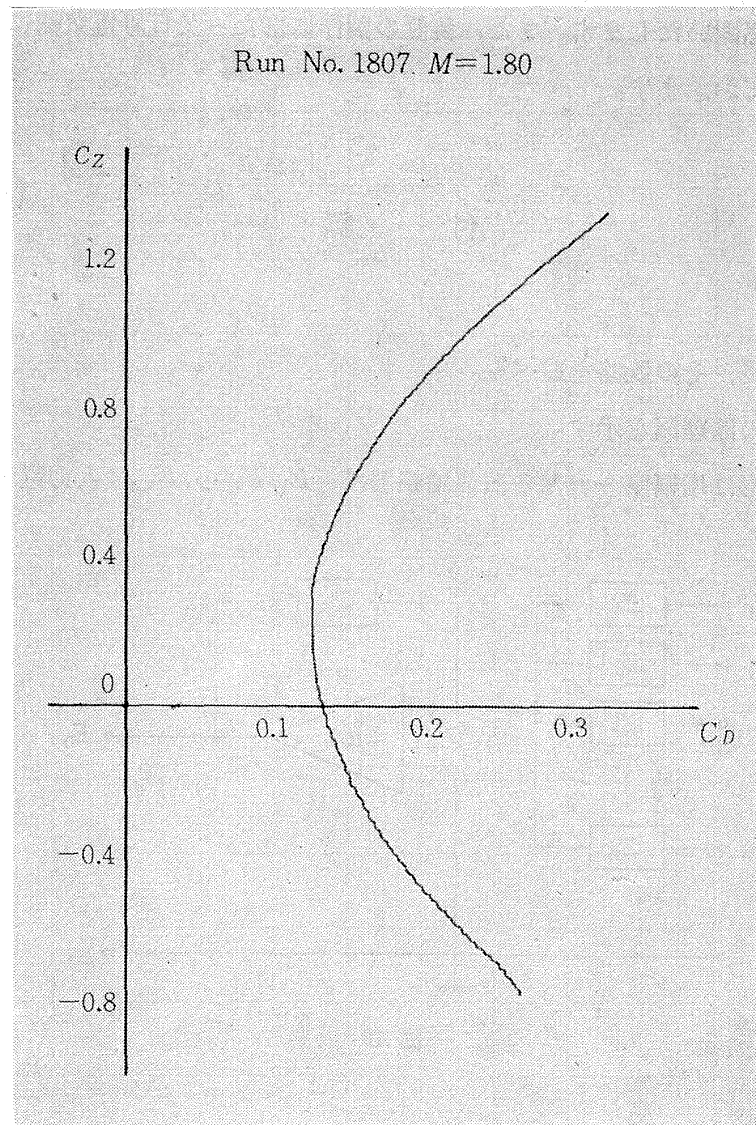


図 18

5. 結 果

本装置をもって得られた結果から、一応の結論を述べてみる。

- (1) $C_{z-\alpha_T}$, $C_{m-\alpha_T}$, $C_{x-\alpha_T}$ 等、係数を乗じ、あとは加算のみで結果が得られるものについては、動圧 q の推定さえ適正であれば、一応満足な結果が得られる。
- (2) C_D については、 $\sin \alpha_T$ を α_T で近似している点、 $C_z \cdot \alpha_T$ の演算を実行するため乗算器を用いねばならないため、ドリフトやノイズの影響が大きく現われる点など、いくぶん問題があり、十分な結果を得るためににはさらに一考を要する。
- (3) $C_z - C_D$ については、 C_D さえ良好であれば、それ自体では問題はない。

最後に、この装置の製作と実験をおして御指導と御助言をいただいた、空気力学第二部重見部

長、高木室長に深く感謝いたします。また、装置の製作にあたって日本電気㈱に御尽力いただいたことも合わせて記しておきます。

付 錄

線形演算器

線形演算器について、その既略を述べる。

図19に線形演算器の原理図を示す。

図において、三角形は増幅度 $-\mu$ なる演算増幅器で、 E_1, E_2, \dots, E_n は入力電圧、 e_g は格子電圧、

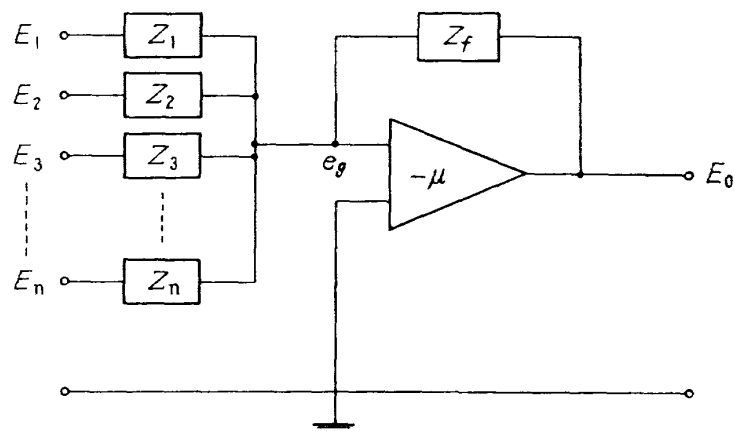


図 19

Z_1, Z_2, \dots, Z_n は入力インピーダンスそして Z_f が帰還インピーダンスである。

ここで、格子電流を無視して次式が成立する。

$$\begin{cases} (E_1 - e_g)/Z_1 + (E_2 - e_g)/Z_2 + \dots + (E_n - e_g)/Z_n = -(E_0 - e_g)/Z_f \\ E_0 = -\mu e_g \end{cases}$$

これより、

$$E_0 = - \left\{ Z_f \sum_{i=1}^n (E_i/Z_i) \right\} / [1 + (1/\mu) \{ 1 + Z_f \sum_{i=1}^n (1/Z_i) \}] \quad (\text{付 } 1)$$

ここで、増幅度 μ が十分大で

$$\mu \gg 1 + Z_f \sum_{i=1}^n (1/Z_i)$$

ならば、(付1)式の分母の第2項は無視でき、

$$E_0 = -Z_f \cdot \sum_{i=1}^n (E_i/Z_i) \quad (\text{付 } 2)$$

となる。

(1) 加算係数器

(付2)式において、 $Z_1=R_1$, $Z_2=R_2$, ……, $Z_n=R_n$, $Z_f=R_f$ とすれば

$$E_0 = -\sum_{i=1}^n (R_f/R_i) \cdot E_i$$

となり、出力電圧は、入力電圧 E_i に R_f/R_i なる係数をかけたものの和として与えられる。
これが加算係数器である。

特に、

$$R_1=R_2=\cdots=R_n=R_f$$

ならば、

$$E_0 = -(E_1 + E_2 + \cdots + E_n)$$

となり、単なる加算器となる。

また、

$$E_2=E_3=\cdots=E_n=0$$

ならば、

$$E_0 = -E_1$$

で、符号変換器と言われるものである。

(2) 加算積分器

(付2)式において、 Z_f に蓄電器を用いて、

$$Z_f = 1/CP, \quad Z_1=R_1, \quad Z_2=R_2, \quad \dots, \quad Z_n=R_n$$

とすれば

$$E_0 = -\sum_{i=1}^n (1/R_i CP) \cdot E_i \longrightarrow = -\sum_{i=1}^n (1/CR_i) \cdot \int E_i dt$$

となり、出力電圧は、入力電圧 E_i に $1/CR_i$ なる係数をかけて時間について積分したものと和となる。

特に、

$$E_2=E_3=\cdots=E_n=0$$

とすれば

$$E_0 = -(1/CR_1) \int E_1 dt$$

となり、積分器となる。

文 献

- 1) 空気力学第二部: 1m×1m 吹出式超音速風洞の計画と構造, 航技研報告 TR-29 (昭和37)
- 2) 新井 忠, 原 亘利: 吹出式超音速風洞による実験データの処理方式について (I), 航技研資料 TM-19 (昭和38)
- 3) 高木廣治, 谷 喬, 斎藤秀夫, 新井 忠: 1m×1m 吹出式超音速風洞における AGARD 標準模型 B の三分力試験, 航技研資料 TM-20 (昭和38)

I.	NAL TM-51 航空宇宙技術研究所 超音速風胴空力データ表示記録装置について	喬 明 谷 島 一 直 利 高 原 洋 史 近 藤 洋 史 NAL TM-51	087.4	1965年5月 22ページ	トランジスタ式アナログ計算機と X-Y レコードより構成されている超音速風胴空力データ表示記録装置を実際に風胴試験に適用して得た結果を示すとともに、装置の構成、演算方式等について説明している。
			087.4	1965年5月 22ページ	
			087.4	1965年5月 22ページ	
I.	NAL TM-51 航空宇宙技術研究所 超音速風胴空力データ表示記録装置について	喬 明 谷 島 一 直 利 高 原 洋 史 近 藤 洋 史 NAL TM-51	087.4	1965年5月 22ページ	トランジスタ式アナログ計算機と X-Y レコードより構成されている超音速風胴空力データ表示記録装置を実際に風胴試験に適用して得た結果を示すとともに、装置の構成、演算方式等について説明している。
			087.4	1965年5月 22ページ	
			087.4	1965年5月 22ページ	

TM-49 Queen-Air 機の失速特性について

1965年2月 幸尾治朗, 岡遠一

TM-50 LS-A型ロケットの曲げ剛性および振動試験について

1965年5月 照井祐之, 鎌田幸男
中井暎一, 堀武敏
泉日出夫

注：欠番は配布先を限定したもの

航空宇宙技術研究所資料51号

昭和40年5月発行

発行所 航空宇宙技術研究所
東京都調布市深大寺町1880

電話武藏野(0422) (4)9171(代表)

印刷所 奥村印刷株式会社
東京都千代田区西神田1~10
